

Online system: http://www.jabiotech.org

#### 农业生物技术学报

# Journal of Agricultural Biotechnology

2017, 25(1): 116~124

DOI: 10.3969/j.issn.1674-7968.2017.01.014



# TB10基因过表达对离体鹿茸干细胞增殖、衰老和迁移的影响

张伟 褚文辉 付晶 孙红梅 李春义\*

中国农业科学院特产研究所/特种经济动物分子生物学国家重点实验/吉林省鹿茸工程研究中心,长春130112

\*通讯作者,lichunyi1959@163.com

胸腺素β10(thymosin beta 10, Τβ10)基因是肿瘤发生以及恶化分级的一个预判指标。研究发现, 鹿(Cervidae)茸顶端的生长中心组织中Tβ10高度表达,而鹿茸却能快速生长(2 cm/d)不发生任何癌变。为 了研究内源性鹿TB10基因过表达对鹿茸干细胞部分生物学特性的影响。本研究通过采集鹿生茸区骨膜 (antlerogenic periosteum, AP)组织并对其进行了原代培养获得了高纯度 AP 细胞。通过克隆鹿 TB10 基因 并构建慢病毒过表达载体,离体包装并收集慢病毒颗粒后感染AP细胞,qRT-PCR检测表明TB10基因表 达量相对于对照上调了 2.5 倍,进而建立 TB10 过表达 AP 细胞系。四甲基偶氮唑盐比色法(methyl thiazolyl tetrazolium assay, MTT)实验表明, Tβ10基因过表达能极显著抑制 AP细胞增殖(P<0.01); β-半乳 糖苷酶染色显示,TB10基因过表达极显著地促进了AP细胞的衰老(P<0.01);细胞划痕实验表明,TB10基 因过表达显著抑制人(Homo sapiens)脐静脉内皮细胞(human umbilical vein endothelial cells, HUVEC)的细 胞迁移(P<0.05)。本研究为揭示鹿茸快速生长机制而不发生癌变以及深入研究鹿TB10基因在鹿茸快速 生长中的功能提供了理论依据。

关键词 鹿,胸腺素β10(Tβ10),慢病毒,生物学特性,鹿茸干细胞

中图分类号 S825 文献标识码 A

# Effects of Deer (Cervidae) Thymosin β10 Gene Overexpression on Proliferation, Senescence and Migration of Antler Stem Cells In vitro

ZHANG Wei CHU Wen-Hui FU Jing SUN Hong-Mei LI Chun-Yi\*

1 State Key Laboratory for Molecular Biology of Special Economic Animals/Deer Antler Engineering Center of Jilin Province, Institute of Special Animal and Plant Sciences, Chinese Academy of Agricultural Sciences, Changchun 130112, China

**Abstract** Overexpression of thymosin beta 10 ( $T\beta 10$ ) gene is detected in many of neoplastic tissues and cell lines compared to the respective normal tissue types. So Tβ10 is considered to be an anticipated marker for tumorigenesis and tumor progression. Deer (Cervidae) antlers are not a cancerous organ with the astonishing growth rate up to 2 cm/d. TB10 gene was highly expressed in the growing tips of antlers by using in situ hybridization. Therefore, tests of the effects on biological properties (proliferation, migration and senescence) of endogenous  $T\beta 10$  gene expressed in the antler stem cells by using a lentiviral vector were performed in this study. In the experiment, antlerogenic periosteum (AP) tissue from a 8 months old male sika deer was collected by using surgical operation in a relative sterile environment and primary culture for AP cells was carried out by using type II collagenase. Total RNAs of AP cells were extracted by using PureLink™ mini RNA

基金项目: 国家自然科学基金项目(No. 31500792)、吉林省科技发展计划项目(No. 20140101139JC)和中国农业科学院科技创 新工程项目(No. CAAS-ASTIP-2014-ISAPS-04)

收稿日期:2016-08-18 接受日期: 2016-09-26

<sup>\*</sup> Corresponding author, lichunyi1959@163.com

kit and Tβ10 gene was cloned using RT-PCR. AP cell lines with the overexpression of Tβ10 gene were successfully established by using lentiviral vector guidance system and determined the effects on proliferation, migration and senescence, which may be influenced by endogenous Tβ10. AP cells could proliferate in vitro, morphology of these cells was bipolar spindle shaped under a phase contrast microscope. TB10 gene was cloned accurately based on sequencing and inserted into the lentiviral vector plvx- ires- mCherry- puro successfully. Recombinant lentivirus was packed and produced successfully by using co-transfection of threeplasmid lentiviral vectors and X-treme GENE HP transfection reagents in ERK 293T cells. Transfection efficiency was evaluated through the expression of red fluorescent protein (RFP) by using an inverted fluorescence microscope. The lentivirus from culture medium were collected and concentrated by using Lenti-X concentrator regents, and the titer of lentivirus achieved 4×10<sup>8</sup> TU/mL detected with 293T cells. AP cells infected by recombinant lentivirus were selected and enriched by applying puromycin (2.5 μg/mL) in culture medium for 10 days. AP cell lines with overexpression of TB10 gene were established and identified by qRT-PCR and Western blotting. The results of methyl thiazolyl tetrazolium (MTT) assay showed that  $T\beta 10$  gene inhibited proliferation of AP cells significantly ( $P \le 0.01$ ), compared to the control;  $\beta$ -galactosidase staining showed that  $T\beta 10$  gene promoted senescence of AP cells significantly (P < 0.01) and the migration assay showed that TB10 gene inhibited human (Homo sapiens) umbilical vein endothelial cells (HUVEC) migration significantly ( $P \le 0.05$ ). This study would lay the foundation for revealing the underlying mechanism of rapid growth of deer antlers without becoming cancerous.

**Keywords** Deer, Thymosin beta 10, Lentiviral vector, Biological characteristics, Antler stem cells

鹿(Cervidae)胸腺素β10 (thymosin beta 10, Tβ 10)是分子量约为5kD的肌动蛋白结合因子,广泛 存在于哺乳动物器官中,是Thymosin beta家族的 重要一员(和金周等, 2012)。目前,Tβ10的研究主 要集中于肿瘤以及癌症发生上,Tβ10在众多(如甲 状腺乳头状癌和胆管癌等)肿瘤发生以及恶化过程 中高表达,且其表达量与肿瘤恶化程度呈现一定的 相关性,因此,Tβ10被认为是肿瘤发生及恶化程度 的一个可靠标记和重要预判指标,也是现今兴起的 一个肿瘤治疗潜在靶点(Zhang et al., 2014; Sribenja et al., 2013; Bodey et al., 2000)。此外, Tβ10还参 与众多的生物学过程,包括细胞生长、分裂、凋亡、 迁移以及血管形成等(Rho et al., 2005; Zhang et al., 2009; 李紫璇等, 2014)。

鹿茸是迄今为止发现的唯一能够每年周期性 完全再生的哺乳动物附属器官,其周期性再生包含 了皮肤、血管、神经和骨/软骨等组织的完全再生。 此外,鹿茸的生长非常迅速,在生茸期其生长速度 最快能达到2.75 cm/d,是一般肿瘤生长速度的30 多倍,但是鹿茸却一般不会发生癌变(Li et al., 2014; Nieto-Diaz et al., 2012)。 Deb-Choudhury 等 (2015)发现 TB10 在鹿茸顶端组织中高度表达。在 肿瘤和鹿茸中均存在TB10的高表达,而前者是癌变

的组织后者则是正常组织。据此,TB10基因可能是 调控或平衡鹿茸的快速生长,以避免鹿茸发生癌变 的调控因子。揭示 Τβ10基因在鹿茸中的生物学功 能及其调控机制可以为肿瘤治疗及预防提供借鉴。

鹿茸的发生和再生是基于鹿茸干细胞的过程, 鹿茸干细胞(antler stem cells)包括生茸区骨膜(antlerogenic periosteum, AP)细胞和角柄骨膜(pedicle periosteum, PP)细胞, AP是鹿茸发生的基础, PP是 鹿茸再生的基础(Li et al., 2010)。本实验通过采集 AP组织并原代培养AP细胞。利用特异性引物将 TB10克隆至慢病毒介导的表达载体,并包装形成 重组慢病毒,再将 Tβ10基因导入AP细胞,从而构 建了TB10基因过表达的AP细胞系。其次,通过一 系列的研究探索了内源 Tβ10基因过表达对细胞增 殖、衰老和迁移的影响。从而综合评价鹿 Τβ10基 因在鹿茸生长发育中的功能,以期为进一步揭示 Τβ10的生物学功能以及作用提供理论依据。

#### 材料与方法

#### 1.1 材料与试剂

9月龄雄性梅花鹿(Cervus nippon),体况良好,生 茸区未发育,高度约为1.5 cm,购自农业部长白山野 生生物重点观测站;感受态细胞DH5α购自北京全 式金生物;细胞株人胚肾细胞(293T)、细胞株人脐静 脉内皮细胞(human umbilical vein endothelial cells, HUVEC)、载体质粒 plvx-ires-mCherry-puro 质粒(由 本实验室重组构建)、慢病毒包装质粒pMD2.G和 pSPAX2均由本实验室保藏。无缝克隆连接试剂盒 购自南京维诺赞生物;小量质粒提取试剂盒(E.Z.N. A, 美国); 无内毒素大量质粒制备试剂盒(Promega, 美国);琼脂糖凝胶高效回收试剂盒(E.Z.N.A,美 国); DNA Marker(Takara, 日本); DMEM基础培养基 和 RPMI 1640 培养基、标准胎牛血清(fetal bovine serum, FBS)(Gibco, 美国), 胰酶(Trypsin)(Life tech, 美国), X-tremeGENE HP(Roche, 德国), Ploy brene (Millipore, 美国), 兔抗人 Tβ10 抗体(Abcam, 美国), 鼠抗人甘油醛-3-磷酸脱氢酶抗体 (glyceraldehyde-3- phosphate dehydrogenase, GAPDH) (Proteintech, 美国),其他试剂均为国产或进口分析纯。

#### 1.2 方法

# 1.2.1 AP组织采样及其原代培养

参照Li和Suttie(2003)的方法并加以改进,在无菌样品采集箱中进行生茸区骨膜(antlerogenic periosteum, AP)组织采集,揭开生茸区皮肤,去除AP组织上的结缔组织,随后利用鼠牙镊将AP组织撕下,将AP置于无菌样品存储液(DMEM含双抗)中,带至实验室进行组织原代培养。原代培养主要参考Sun等(2012)并加以改进,具体如下:利用无菌PBS将AP组织洗涤2次,组织切割装置(专利号:ZL201420335401.8;发明人:李春义,褚文辉和赵海平)将AP组织切割成2~3 mm³的小块,利用Ⅱ型胶原

蛋白酶(150 U)于37 ℃水浴消化约10 min,待AP组织出现毛边时,离心收集 AP组织块,用少量培养基(DMEM,10% FBS)重悬组织块并接种于T-25培养瓶中,先倒置培养2~4 h后,随后将培养瓶转为正置状态,同时添加适量培养基使其没过组织块。连续培养约6 d后,待细胞长出后进行正常传代、冻存和复苏等常规细胞操作,并将培养的细胞命名为AP细胞。

# 1.2.2 *Tβ10* 基因 ORF 克隆及慢病毒表达载体的构建与鉴定

根据TB10的基因ORF序列,设计特异性引物 (携带载体同源臂,表1中带底纹部分),胰酶消化生 长状态良好的 AP 细胞,利用 Life Technology 总 RNA制备试剂盒提取AP细胞总RNA,随后利用微 孔板酶标仪测定所提RNA浓度及纯度后,利用Takara 1st Strand cDNA Synthesis Kit 反转录合成 cD-NA模板,并利用RT-Tβ10-F/R 引物进行PCR扩增, 反应体系(50 μL): 上下游引物(RT-Tβ10-F/R, 表 1) 各 1 μL(10 μmol/L), cDNA 模板 2 μL(50 ng/μL), Takara premix Tag 25 μL, ddH<sub>2</sub>O 21 μL。扩增程序 为: 94 °C, 5 min; (94 °C, 30 s; 55 °C, 30 s; 72 °C, 40 s) ×40;72 ℃,5 min。将 PCR 产物进行凝胶电泳分析, 胶回收目的条带后与经过 Xho I 酶切过的线性化 载体进行无缝重组,将重组产物转化DH5α感受态 细胞,挑选单克隆并进行质粒提取。利用PCR鉴定 重组质粒,反应体系(20 μL): 上下游引物(Plvx-puro-F/R, 表 1)各 0.5 μL(10 μmol/L), 质粒模板 0.5 μL (100 ng/μL), Takara premix Taq 10 μL, ddH<sub>2</sub>O 8.5 μL。反应程序: 95 ℃预变性 15 min; 94 ℃变性 15 s, 55.0 ℃退火 30 s, 72 ℃延伸 35 min, 共 35 个循

表 1 引物信息

Table 1 Primer information

引物名称	序列(5'~3')	产物大小/bp	$Tm/^{\circ}$ C
Primer name	Sequence	Product length	
RT-Tβ10-F	TACCGGACTCAGATCtcgaATGGCAGACAAGCCCGACAT	165	55.8
RT-Tβ10-R	AATACCGGAGTACTCGA TCACTTTGCTTGCTTCTCCTGCTC		
Plvx-puro-F	GTCGTAACAACTCCGCC	315	54.6
Plvx-puro-R	CGGGGAAACAGAAGTGC		
GAPDH-F	ATGTTTGTGATGGGCGTGAAC	184	59.5
GAPDH-R	CCAGTAGAAGCAGGGATGATGTT		
qPCR-Tβ10-F	TAAGGCCAAGCTGAAGAAGACTGA	87	58.5
qPCR-Tβ10-R	CACTTTGCTTGCTTCTCCTGCTC		

底纹:载体同源臂 Shading: Homologous arms of vector

环,72 ℃ 5 min,4 ℃。采用凝胶电泳对 PCR 产物进 行鉴定,将阳性的质粒进行测序鉴定(哈尔滨博仕 生物科技有限公司)。经测序确认后的质粒命名为 plvx-mCherry-ires-puro-Tβ10,并利用 Promega 高品 质无内毒素质粒提取试剂盒大量制备,同时对慢病 毒空载体质粒 plvx-mCherry-ires-puro、包装质粒 pSPAX2和pMD2.G进行大提备用。

# 1.2.3 重组质粒(携带鹿TB10基因)的慢病毒包装

利用 0.8% 胰酶消化人胚肾细胞 293T 细胞并准 确计数,将其接种于经无菌多聚赖氨酸处理过的 10 cm<sup>2</sup>细胞皿中,添加10 mL培养基(含10%标准胎 牛血清(FBS), 不含抗生素, 使其生长状态达到较佳 水平), 使293T包装细胞在预转染时细胞融合度达 到80%以上。使用1.0 mL opti-MEM 培养基稀释总 共10 μg 质粒 DNA (m (plvx-mCherry-ires-puro/-Tβ 10):m(Pspax2):m(pMD2.G)的比为4:4:2),同时添 加22 µL细胞高效转染试剂后,在室温下孵育25~ 30 min 后,将该复合物缓慢添加到细胞培养皿中, 并轻轻摇动培养皿以混匀。置于细胞培养箱中, 37 ℃,5% CO<sub>2</sub>, 孵育 12 h后, 然后更换培养基。转 染操作24h后在EVOS倒置荧光显微镜下,检测红 色荧光蛋白(red fluorescent protein, RFP)的表达分 布情况以此确定本次转染效率(间接反映慢病毒包 装效率)。在转染效率较高的前提下,缓慢收集细胞 培养皿中上清于50 mL 离心管中(0.45 µm 过滤上 清)。依据慢病毒浓缩液(Lenti-X concentrator, Clonetech)的使用要求,按比例添加慢病毒浓缩液,于 4 ℃静置约 12 h 后, 1 500×g 离心 30 min, 弃去上清 并利用适量PBS 重悬沉淀,取一小部分进行病毒滴 度测定,剩余病毒小量分装后置于-80℃保存待用。

## 1.2.4 重组慢病毒(携带鹿TB10基因)感染AP细胞

在细胞生长对数期,胰酶消化并重悬一定数量 的AP细胞,准确计数后,添加3×10<sup>4</sup>个细胞于6孔 板中央,随后添加2 mL 完全培养基(10% FBS, 含抗 生素)。培养约6h,待细胞全部贴壁后进行重组慢 病毒感染操作,首先弃去6孔板中的培养基,替换2 mL DMEM 培养基含病毒 200 μL 及 poly-brene(2 μL)的混合液,12 h后更换为完全培养基,感染病毒 24 h 后在倒置荧光显微镜下观察 AP细胞荧光蛋白 RFP的表达情况。待含有荧光细胞达到约50%以 上时,添加 2.5 μg/mL 的嘌呤霉素(puro)于培养基 中,连续筛选10d,以去除未携带目的载体的细 胞。将携带 Tβ10 基因的 AP 细胞命名为 AP-Tβ10, 将携带空载体对照的AP细胞命名为AP-Vector,将 未经处理的AP细胞命名为AP-Negative。

## 1.2.5 qRT-PCR 检测 AP细胞 Tβ10 mRNA 表达效率

从 AP-TB10、AP-Vector 以及 AP-Negtive 细胞 中分别提取总RNA,对RNA进行定量分析后将其 反转录合成cDNA后,利用SYBR Green 荧光定量 试剂盒进行荧光定量PCR反应,结合qPCR-Tβ10-F/R特异性引物进行实验,并选择GAPDH作为内参 基因,以对结果进行校正,每组设立3个复孔以减 少实验误差,以AP-Negative作为对照,反应体系 (25 μL): 上下游引物各 0.5 μL (10 μmol/L), 模板 1 μL(50 ng/μL), Roche SYBR master 12.5 μL, ddH<sub>2</sub>O 10.5 μL。反应条件: 95 ℃预变性 15 min; 94 ℃变性 15 s, 55.8 ℃退火 30 s, 72 ℃延伸 1 min, 共 40 个循 环,72 ℃ 5 min,4 ℃。同时设立熔解曲线,以判断 引物的特异性。

# 1.2.6 Western blot检测AP细胞Tβ10蛋白表达效率

AP细胞经PBS洗涤后,胰酶消化细胞后,利用 自制裂解液和组织细胞破碎仪将其裂解并收集于 离心管中,随后于4℃,12000×g离心15 min,收集 上清并添加蛋白酶抑制剂(董振等, 2015)。利用 Braford 微孔板法测定蛋白浓度后,等量上样(60 μg)于 15%聚丙烯酰胺(polyacrylamide gelelectrophoresis, PAGE)凝胶上,随后在4℃的条件下,将蛋 白转印至聚偏氟乙烯(poly vinylidene difluoride, PVDF)膜(0.22 μm)上,5%脱脂奶粉封闭,一抗室温 孵育2h,洗涤后,添加相对应二抗,室温孵育1h, 洗涤后,利用DAB显色试剂盒进行显色。利用扫 描仪扫描图像进行处理分析。

## 1.2.7 MTT 法测定 TB10 过表达对细胞增殖的影响

消化AP-Tβ10、AP-Vector以及AP-Negtive细胞 并准确计数,调整细胞浓度为5×10<sup>4</sup>个/mL,每孔(96 孔板)取200 μL细胞悬液,每个处理设立6个复孔, 每2~3 d更换完全培养基,分别于接种1、3、5和7 d 后进行MTT检测。检测方法:在原培养基基础上每 孔添加 20 μL MTT 试剂(5 mg/mL), 轻微晃动以使 MTT分布均匀,继续培养孵育4h后,利用排枪小心 弃去培养上清后,每孔加入150 μL高品质二甲基亚 砜(dimethyl sulfoxide, DMSO)溶解,摇床避光反应 10 min 后,利用微孔板酶标仪在570 nm 处测定吸光

度。将 *OD* 值扣除空白对照(添加 AP 细胞, 不加 MTT 试剂)后,以时间为横坐标,吸光度为纵坐标绘制细胞增殖曲线。

# 1.2.8 β-半乳糖苷酶法检测 *Τβ10* 基因对细胞衰老的影响

提前1d将AP-Tβ10、AP-Vector以及AP-Negtive细胞接种到6孔板中,待细胞融合度达到80%左右时,将细胞进行固定、洗涤后添加1mLβ-半乳糖苷酶染色工作液(碧云天生物,上海),封口膜封口后置于37℃(不能使用含CO₂的细胞培养箱)过夜孵育。在普通光学显微镜下观察细胞着色情况并采集照片。每种处理随机选取3个视野,参照试剂盒着色情况说明,统计被着色细胞占全部细胞的比例,计算细胞衰老率(%)=(着色细胞数/总细胞数)×100。

## 1.2.9 细胞划痕实验检测Tβ10对细胞迁移的影响

前期实验发现 AP 细胞几乎不具备迁移特性,因此本实验选用 HUVEC 进行迁移实验。按照 1.2.4 中的方法,利用慢病毒系统将鹿  $T\beta10$  基因导入 HUVEC 细胞。接种细胞前,先用 marker 笔在 6 孔板背后,用直尺比着,均匀地划横线,大约每隔 0.5~1 cm 一道,横穿过孔。每孔至少穿过 5 条线。在孔中分别加入 HUVEC 细胞  $T\beta10$  过表达组 (H-UVEC- $T\beta10$ )、空载体感染组 (HUVEC-Vector)和正常 HUVEC 细胞 (HUVEC-Negative),接种密度为 5×  $10^5$ 个细胞/孔,第二天用枪头比着直尺,垂直于背后的横线划痕,用 PBS 洗细胞 3 次,去除划下的细胞,加入无血清培养基。放入 37 ℃,5% CO<sub>2</sub>培养箱,培养。按 0,6,12,18 和 24 h 取样,拍照。结果使用 Image-pro plus 图像分析软件进行迁移距离分析,为消除实验误差,每组进行 3 个复孔。

#### 1.2.10 数据统计与分析

利用 Excel 以及 IBM SPSS 20.0 软件进行数据统计和分析,利用 GraphPad prism 5 绘图软件进行图形绘制,数据以均值 $\pm$ 标准差( $\overline{X}\pm SD$ )表示,以单因素方差分析(one-way ANOVA)检验判断差异显著性。

# 2 结果与分析

#### 2.1 AP组织采集及AP细胞原代培养

AP组织(图1A)培养1周后的AP细胞,于倒置相差显微镜观察,可见AP细胞形态呈均一的梭型,

无杂细胞,且生长状态良好。同时,AP细胞可形成单克隆(图1B),说明AP组织采集成功,且原代细胞培养顺利,所获得的AP细胞纯度较高,可用于后续实验分析。

#### 2.2 目的载体扩增与重组慢病毒载体构建

以AP细胞的cDNA为扩增模板,利用携带载体同源臂的TB10基因的特异性引物进行RT-PCR扩增,扩增产物经电泳鉴定,在165 bp左右出现特异性条带(图2,泳道1),与理论预测一致,说明TB10基因克隆成功。目的片段胶回收后与经酶切线性化的过表达载体plvx-ires-mCherry-puro进行质粒同源克隆重组,PCR产物经鉴定发现,空载体在315 bp左右出现特异性条带(图2,泳道2),目的载体在444 bp左右出现特异性条带(图2,泳道3),结果与预期相符,将目的载体测序后,进一步证明TB10基因ORF成功克隆至目标载体并命名为plvx-ires-mCherry-puro-TB10。

## 2.3 重组慢病毒三质粒共转染293T细胞效果

由 X-tremeGENE HP 介导的重组慢病毒质粒

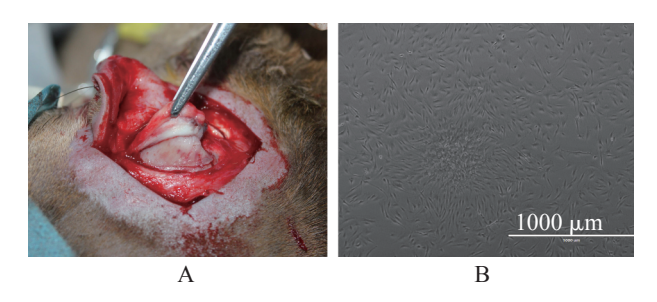


图 1 AP组织采集(A)及其原代细胞培养(B)

Figure 1 Tissue sampling (A) and primary culture of AP cells (B)

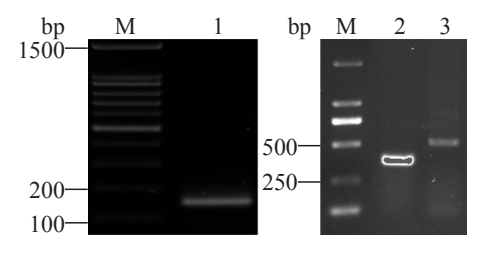


图 2 重组质粒 PCR 鉴定结果

**Figure 2 PCR identification of recombinant plasmid** M: DL2000 maker; 1: *Tβ10* 目的条带; 2: 空载体扩增片段; 3: 目的载体扩增片段

1: Target band of  $T\beta 10$ ; 2: Band of vector; 3: Target band of recombinant vector

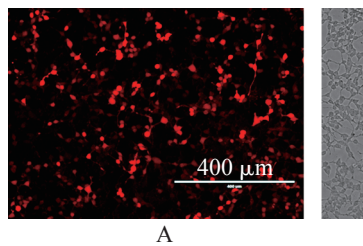
plvx-ires-mCherry-puro/-*Τβ10*、包装质粒 pSPAX2 和 pMD2.G 三质粒共转染 293T细胞 24 h后,倒置荧光显微镜下,视野中观察到大量的 RFP 荧光,且荧光呈明暗交替均匀分布(图 3A)。为考察病毒包装对293T细胞状态的影响,在相差模式下,该细胞呈圆粒型,生长旺盛,紧密排列,且无死细胞漂浮于上清中(图 3B)。表明本次实验成功进行了293T细胞质粒共转染并在该细胞中形成了慢病毒颗粒。慢病毒颗粒经收集浓缩进行滴度测定(梯度稀释法),发现本实验包装形成的病毒滴度达到4×10<sup>8</sup> TU/mL,达到后续感染实验要求。

#### 2.4 重组慢病毒感染 AP细胞效果

用包装成功的慢病毒感染 AP细胞,经过嘌呤霉素(puro)的连续筛选,倒置荧光显微镜下观察发现,视野中 AP细胞(图 4A)全部表达 RFP,说明 TB 10 基因已成功导入 AP细胞。在可见光下可看到 AP细胞(图 4B)生长状况良好,说明本实验成功建立了携带 TB10 ORF的 AP细胞系。

#### 2.5 AP细胞 Tβ10 mRNA 和蛋白表达水平

由 qRT-PCR 的扩增曲线和熔解曲线可知,内参基因 GAPDH 和目标基因  $T\beta10$  均被引物特异性扩增。仪器自动设置基线后导出对应的 Ct 值,然后利用  $2^{-\Delta\Delta G}$  分析算法进行基因表达数据分析,由图 5A 可知:与对照 AP-Negative 相比,AP-Vector  $T\beta10$  mRNA 表达上调差异不显著 (P>0.05),说明该载体对基因表达的影响较小。但 AP- $T\beta10$  中  $T\beta10$  mRNA 表达水平出现极显著升高 (P<0.01),是 AP-Negative 和 AP-Vector 的 2.5 倍左右。结果说明,本



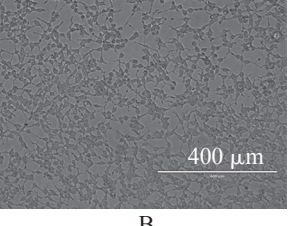


图 3 三质粒共转染 24 h 后的 293T 细胞

Figure 3 293T cells 24 h after transfection by using 3 plasmids

A. 倒置荧光显微镜下荧光表达情况; B. 倒置相差显微镜下细胞形态

A. RFP expression in 293T cells under an inverted fluorescence microscope; B. 293T cells under a phase contrast microscope

实验成功地在AP细胞中上调了 *Τβ10* mRNA 的表达水平。

由图 5B可知,DAB显色 3 种蛋白的内参(GAP-DH)条带大小粗细一致,说明内参表达丰度一致。相对于 AP-Negative 和 AP-Vector, AP-Tβ10 的目的蛋白条带较深,目的蛋白表达量较高,说明成功地在 AP细胞中过表达了Tβ10蛋白。

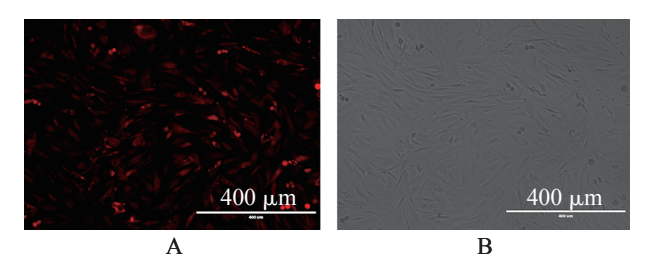


图 4 重组慢病毒感染的 AP 细胞

Figure 4 Infected AP cells by using Lentivirus

A. AP细胞荧光表达情况; B. AP细胞的形态

A. RFP expression in AP cells; B. Morphology of AP cells under phase contrast

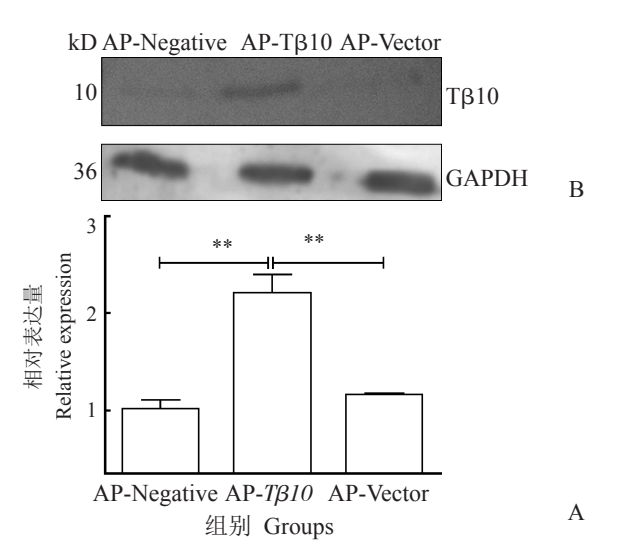


图 5 过表达 AP 细胞系的  $T\beta 10$  mRNA 水平(A) 和蛋白表达水平(B)检测

# Figure 5 Expression level of $T\beta 10$ mRNA (A) and protein level (B) in the AP cell lines with T $\beta 10$ overexpression

AP-Negative: 未经处理的 AP 细胞; AP- $T\beta10$ : 携带  $T\beta10$  基因的 AP 细胞; AP-Vector: 携带空载体对照的 AP 细胞; \*\*: 与 AP- $T\beta10$  相比差异极显著(P<0.01); 内参基因: GAPDH, n=3;下同

AP-Negative: Untreated AP cells; AP- $T\beta 10$ : AP cells overexpress  $T\beta 10$ ; AP-Vector: AP cells contain vector; \*\*: Significant difference compared with the AP- $T\beta 10$  (P < 0.01), Reference gene: GAPDH, n=3; The same below.

#### 2.6 Tβ10基因过表达对细胞增殖的MTT检测结果

胰酶消化 AP- $T\beta10$ 、AP-Vector 和 AP-Negative 这 3 种细胞,计数后铺板培养并进行连续天数的 MTT 测定,由图 6 可知,与 AP-Vector 和 AP-Negative 相比,AP- $T\beta10$  过表达极显著地抑制了细胞增殖(P<0.01),说明  $T\beta10$  基因的上调抑制了 AP细胞的增殖。此外,AP-Negative的增殖速度较 AP-Vector 快,说明载体构建,嘌呤霉素筛选等实验操作对细胞增殖有一定的影响。

# 2.7 Tβ10 基因过表达对细胞衰老的影响(β-半 乳糖苷酶染色)

β-半乳糖苷酶染色结果(图中黑色箭头指示为着色细胞)显示,各组均有一定数量着色的细胞,但是各组之间存在差异。由图7可知,AP-Vector的着色细胞数高于AP-Negative,说明空白载体对AP细胞衰老有一定的影响,但是两者间差异不显著(P>0.05)。值得注意的是两者着色细胞数占比均极显著地低于AP-*Tβ10*(P<0.01)。综合以上结果,*Tβ10*基因极显著地加速了AP细胞的衰老。

# **2.8** *Τβ10* 过表达对细胞迁移的影响(细胞划痕实验)

本实验以各组的相对迁移距离进行统计分析,相对迁移距离的计算方法为(以0~6h为例):在0h划痕的平均距离减去6h划痕的平均距离,以此类推,计算各时间段的相对迁移距离,相对迁移距离越大,则迁移能力越强。

由图8以及表2可知,在 $0\sim6$  h时,HUVEC- $T\beta10$ 相对于HUVEC-Vector (P>0.05)和正常HUVEC-Negative(P<0.01)表现出一定的促迁移效果,但在 $6\sim12$  h以及 $12\sim18$  h时,各组之间的相对迁移距离差

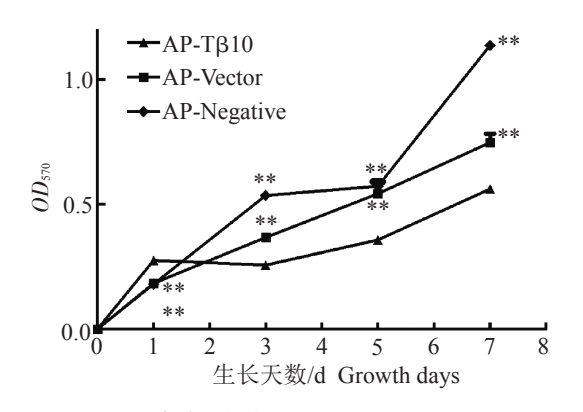


图 6 AP细胞的生长曲线

Figure 6 Growth curve of AP cells via MTT assay

异不显著(P>0.05)。值得注意的是在 18~24 h 时,HUVEC- $T\beta$ 10 的相对迁移距离显著(P<0.05)或极显著(P<0.01)地低于 HUVEC-Vector 和 HUVEC-Negative(P<0.05),这些结果综合说明梅花鹿  $T\beta$ 10 基因过表达具有显著地抑制细胞迁移的作用。

# 3 讨论

Tβ10是一类较为保守的含有43个氨基酸的小 分子蛋白。已有研究表明TB10是现今通用的一个 肿瘤恶化以及恶化分级的预判指标,也正成为肿瘤 治疗的一个目标靶点。此外,Tβ10还参与血管形 成、炎症发生以及早期器官发育等过程,可以说该 因子是一类功能多样的因子(Shiotsuka et al., 2013; Lee et al., 2005)。 鹿茸与肿瘤组织具有许多相似之 处,比如生长迅速,富含血管,高度表达TB10,但鹿 茸却是结构井然有序的正常组织而不是癌组织。 因此,通过揭示鹿Τβ10基因在鹿茸干细胞中的生 物学功能,可以用于推测该因子在鹿茸快速生长以 及肿瘤恶化等方面的作用。本实验通过无菌采集 梅花鹿AP及其细胞的原代培养,获得了高纯度的 AP细胞。此外,成功构建了含TB10基因慢病毒过 表达载体,并成功地建立了Tβ10过表达AP细胞 系。研究发现,TB10过表达能显著抑制AP细胞的 增殖、加速细胞衰老和抑制细胞迁移。

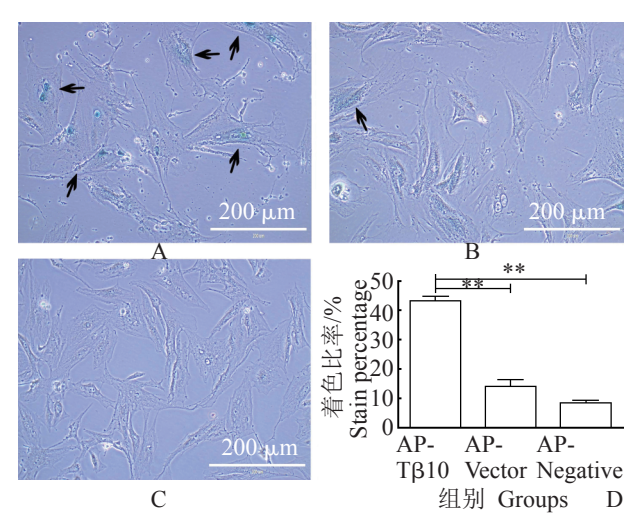


图 7 β-半乳糖苷酶染色结果

Figure 7 Results of β-galactosidase staining

A. AP-Tβ10; B. AP-Vector; C. AP-Negative; D. 统计分析结果。黑色箭头:着色细胞

A. AP-T $\beta$ 10; B. AP-Vector; C. AP-Negative; D. Bar graph. Black arrow: Staining cells

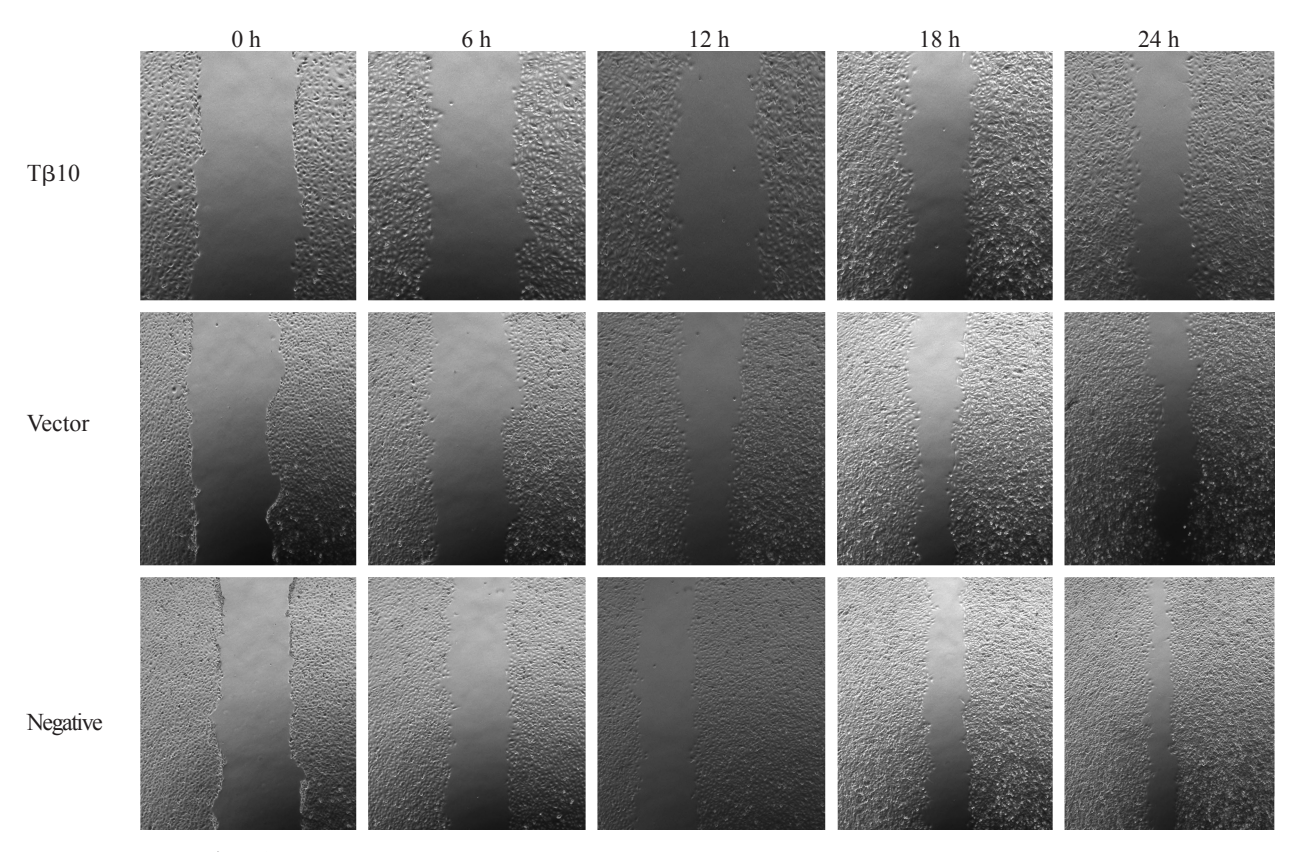


图 8 HUVEC细胞迁移

Figure 8 Migration of HUVEC cells

表 2 细胞迁移统计结果

Table 2 Statistical results of HUVEC cell migration

组别 Groups	0~6 h	6~12 h	12~18 h	18~24 h
Τβ10组 Τβ10	37.36±5.36 <sup>Aa</sup>	19.27±1.54	21.70±2.50	30.84±1.82 <sup>Bb</sup>
空载体组 Vector	$34.45{\pm}1.37^{\rm ABa}$	22.66±6.51	$26.05\pm8.92$	$37.79\pm0.61^{Aa}$
未处理组 Negative	$23.99 \pm 3.75^{Bb}$	21.33±6.13	18.89±1.49	$35.49\pm2.42^{\mathrm{ABa}}$

同一列中上标不同大写字母表示差异极显著(P<0.01);同一列中不同小写字母表示差异显著(P<0.05);同一列中相同字母表示差异不显著(P>0.05)

Values in same column with different superscripts capital letter denoted extremely significant difference (P<0.01); The different small letters means significant difference (P<0.05); The same superscripts letters denoted not significant difference (P>0.05)

Liu等(2004)在黑色素瘤细胞中的研究发现, Tβ10上调表达与细胞 Factin下调呈现显著的相关 性,本实验研究发现,内源鹿 Tβ10基因过表达后能 够显著地抑制 AP细胞增殖,可能的解释是 Tβ10过 表达能够引起细胞 Factin 解聚,造成细胞骨架损 伤,从而抑制细胞增殖。但是, Viglietto等(1999)发 现 Tβ10 mRNA表达的上调能够促进小鼠(Mus musculus)甲状腺腺泡细胞增殖。此外, Shiotsuka等 (2013)发现对胚胎时期小鼠进行 Tβ10-siRNA 处理 能够显著抑制其牙髓和上皮细胞增殖。对比上述 研究结果可以发现, AP细胞虽然同属正常的体细胞但是其调控类型更加接近肿瘤细胞。可能的原因是, 在鹿茸生长期, 内部细胞迅速分裂增殖, 为保证鹿茸组织不发生癌变, 系统中必须有与刺激快速生长因子相平衡的因子, Tβ10 可能起到了这个作用。在细胞迁移方面, Sribenja等(2013)研究发现Tβ10的沉默显著加快胆管癌细胞系细胞的迁移、侵染及伤口愈合过程, 而 Tβ10 的过表达则能通过调节 ERK1/2通路显著抑制该细胞的迁移。本实验结果表明, 内源性过表达鹿 Tβ10 蛋白在经过 24 h

实验后,显著地抑制了细胞迁移,这个结论与前人研究报告相符,推测 Tβ10可能通过调控 ERK1/2/通路从而抑制了细胞的迁移。此外,本实验还首次地检测了 Tβ10基因与细胞衰老的关系,结果表明 Tβ10过表达加速细胞衰老,为进一步全面揭示 Tβ 10基因的功能提供了依据。

#### 4 结论

本研究成功地构建了携带鹿 Tβ10基因的慢病毒表达载体,体外进行了慢病毒包装并获得了高滴度慢病毒颗粒,感染 AP细胞后获得了 Tβ10过表达 AP细胞系。研究发现内源性 Tβ10过表达极显著抑制 AP细胞增殖,加快 AP细胞衰老和抑制 HUVEC细胞迁移。本研究可为进一步探明 Tβ10基因在鹿茸快速生长以及再生过程中的功能提供理论依据。

# 参考文献

- 董振, 王权威, 刘振, 等. 2015. 梅花鹿鹿茸再生干细胞蛋白质组双向电泳条件优化[J]. 农业生物技术学报, 23(3): 414-420. (Dong Z, Wang Q W, Liu Z, et al. 2015. The optimization of two-dimensional electrophoresis for antler stemcells in sika deer (*Cervus nippon*)[J]. Journal of Agricultural Biotechnology, 23(3): 414-420.)
- 和金周, 周长林, 方宏清. 2012. 胸腺素β10 的研究进展[J]. 生物技术通讯, 23(4): 613-616. (He J Z, Zhou C L, Fang H Q. 2012. Advances in Thymosin β10[J]. Letters in Biotechnology, 23(4): 613-616.)
- 李紫璇, 曲连悦, 钟红珊, 等. 2014. 胸腺素β10在人肺腺癌细胞株A549中抑制细胞凋亡、促进细胞增殖机制研究[J]. 中国肺癌杂志, 17(11): 783-788. (Li Z X, Qu L Y, Zhong H S, et al. 2014. Mechanism of thymosin beta 10 inhibiting the apoptosis and prompting proliferation in a549 cells [J]. Chinese Journal of Lung Cancer, 17(11): 783-788.)
- Bodey B, Siegel S E, Hosseini s H P. 2000. Review of thymic hormones in cancer diagnosis and treatment[J]. International Journal of Immunopharmacology, 22(4): 261-273.
- Deb-Choudhury S, Wang W, Clerens S, et al. 2015. Direct localisation of molecules in tissue sections of growing antler tips using MALDI imaging[J]. Mol Cell Biochem, 409(1-2): 225-241.
- Lee S H, Son M J, Oh S H, et al. 2005. Thymosin β10 inhibits angiogene-sis and tumor growth by interfering with Ras function[J]. Cancer Research, 65(1): 137-148.

- Li C, Suttie J M. 2003. Tissue collection methods for antler research[J]. European Journal of Morphology, 41(1): 23-30.
- Li C, Yang F, Haines S, et al. 2010. Stem cells responsible for deer antler regeneration are unable to recapitulate the process of first antler development-revealed through intradermal and subcutaneous tissue transplantation[J]. Journal of Experimental Zoology. Part B, Molecular and Developmental Evolution, 314(7): 552-570.
- Li C, Zhao H, Liu Z, et al. 2014. Deer antler-a novel model for studying organ regeneration in mammals[J]. The International Journal of Biochemistry & Cell Biology, 56: 111-22.
- Liu C R, Ma C S, Ning J Y, et al. 2004. Differential thymosin β10 expression levels and actin filament organization in tumor cell lines with different metastatic potential[J]. Chinese Medical Journal, 117(2): 213-218.
- Nieto-Diaz M, Pita-Thomas D W, Munoz-Galdeano T, et al. 2012. Deer antler innervation and regeneration[J]. Front Biosci (Landmark Ed), 17: 1389-401.
- Rho S B, Lee K W, Chun T, et al. 2005. The identification of apoptosis-related residues in human thymosin beta-10 by mutational analysis and computational modeling[J]. The Journal of Biological Chemistry, 280(40): 34003-34007.
- Shiotsuka M, Wada H, Kiyoshima T, et al. 2013. The expression and function of thymosin beta-10 in tooth germ development[J]. The International Journal of Developmental Biology, 57(11-12): 873-883.
- Sribenja S, Sawanyawisuth K, Kraiklang R, et al. 2013. Suppression of thymosin β10 increasescell migration and metastasis of cholangiocarcinoma[J]. BMC Cancer, 13: 430.
- Sun H, Yang F, Chu W, et al. 2012. Lentiviral-mediated RNAi knockdown of *Cbfa1* gene inhibits endochondral ossification of antler stem cells in micromass culture[J]. PLoS One, 7(10): e47367.
- Viglietto G, Califano D, Bruni P, et al. 1999. Regulation of thymosin β10 expression by TSH and other mitogenic signals in the thyroid gland and in cultured thyrocytes[J]. European Journal of Endocrinology, 140(6): 597-607.
- Zhang X J, Su Y R, Liu D, et al. 2014. Thymosin beta 10 correlates with lymph node metastases of papillary thyroid carcinoma[J]. The Journal of Surgical Research, 192(2): 487-493.
- Zhang T, Li X, Yu W, et al. 2009. Overexpression of thymosin beta- 10 inhibits *VEGF* mRNA expression, autocrine VEGF protein production, and tube formation in hypoxia-induced monkey choroid-retinal endothelial cells[J]. Ophthalmic Research,41(1): 36-43.

(责任编辑 王晓平)